

## A Study of the Effect of Human Prothrombin's Signal Peptide on the Secretion Efficiency of Recombinant Human FIX in the HEK293T Cell Line

Shohreh Khorshidi<sup>1</sup>, Alireza Zomorodipour<sup>2\*</sup>, Mehrdad Behmanesh<sup>3</sup>

- 1- Ph.D. Candidate, Department of Genetics, Faculty of Biological Sciences, Tarbiat Modares University, Tehran, Iran  
2- Associate Professor, Department of Molecular Medicine, Institute of Medical Biotechnology, National Institute of Genetic Engineering and Biotechnology, Tehran, Iran  
3- Associate Professor, Department of Genetics, Faculty of Biological Sciences, Tarbiat Modares University, Tehran, Iran

\*Corresponding Address: P.O.Box: 14065/161, Department of Molecular Medicine, Institute of Medical Biotechnology, National Institute of Genetic Engineering and Biotechnology, Tehran, Iran  
Email: zomorodi@nigeb.ac.ir

Received: 05/May/2015, Accepted: 06/Jul/2015

### Abstract

**Objective:** Eukaryotic proteins generally have signal peptides which are not only crucial for their secretion efficiencies but are important for their expression levels. Coagulation factor IX (FIX) is a glycoprotein that plays a fundamental role in the blood coagulation pathway. Reduced levels or dysfunctional FIX are associated with hemophilia B. This study investigates the function of the human prothrombin signal peptide in an attempt to improve the human FIX (hFIX) secretion efficiency in a heterologous expression system. With this aim, we have used the SignalP and PrediSi programs for in silico evaluation of the signal peptide efficiency prior to conducting this experiment.

**Methods:** We used molecular techniques to amplify and join the coding region of the human prothrombin signal peptide to the cDNA of mature hFIX. The chimeric fragment was examined for transient expression in a mammalian cell line (HEK293T) in comparison with the native hFIX, under a CMVp regulation. Using the neural network-based prediction programs, we evaluated the scores for cleavage position and secretion efficiency of the human prothrombin and hFIX signal peptides. The expression efficiencies of hFIX expressed by the recombinant cells were analyzed by RT-PCR and ELISA.

**Results:** In silico analysis more efficiently predicted the human prothrombin signal peptide with a high score compared to the native hFIX signal peptide. This data was confirmed by the RT-PCR and ELISA results obtained from expression analyses at the RNA and protein levels, respectively.

**Conclusion:** The present study showed that the signal peptide derived from the human prothrombin has the potential for efficient secretion of hFIX as evidenced by the results taken from a transient expression system. The results were consistent with in silico analysis. This replacement could be evaluated in a stable state condition.

**Keywords:** Human factor IX, Prothrombin, Secretion efficiency, Signal peptide

Modares Journal of Medical Sciences: *Pathobiology*, Vol. 18 (2015-2016), No. 2, Pages: 27-39

# بررسی تأثیر استفاده از پیتید نشانه پروترومبین انسانی بر کارآیی ترشح فاکتور ۹ انسانی در رده سلولی HEK293T

شهره خورشیدی<sup>۱</sup>، علیرضا زمردی پور<sup>۲\*</sup>، مهرداد بهمنش<sup>۳</sup>

- دانشجوی دکتری تخصصی، گروه ژنتیک، دانشکده علوم زیستی، دانشگاه تربیت مدرس، تهران، ایران  
- دانشیار، گروه پزشکی مولکولی، پژوهشکده بیوتکنولوژی پزشکی، پژوهشگاه ملی مهندسی ژنتیک و زیست فناوری، تهران، ایران  
- دانشیار، گروه ژنتیک، دانشکده علوم زیستی، دانشگاه تربیت مدرس، تهران، ایران

\*آدرس نویسنده مسئول: ایران، تهران، صندوق پستی: ۱۴۹۶۵/۱۶۱  
Email: zomorodi@nigeb.ac.ir

پذیرش مقاله: ۹۴/۰۴/۱۵

دریافت مقاله: ۹۴/۰۲/۱۵

## چکیده

هدف: به طور عمده پروتئین‌های یوکاریوتی دارای پیتید نشانه هستند که نه تنها نقش محوری در کارآیی ترشح دارند بلکه در بیان پروتئین نیز اهمیت دارند. فاکتور ۹ انعقادی، گلیکوپروتئینی است که نقش محوری در مسیر انعقاد خون ایفا می‌کند. نقص یا کاهش تولید فاکتور ۹ منجر به بیماری هموفیلی B می‌شود. در این پژوهش، با هدف افزایش و کارآیی ترشح پروتئین فاکتور ۹، عملکرد پیتید نشانه پروترومبین انسانی در سامانه بیانی هترولوگ بررسی شد. به این منظور، کارآیی ترشح پیتیدهای نشانه ابتدا با برنامه‌های رایانه‌ای PrediSi و SignalP و سپس به صورت عملی ارزیابی شد.

مواد و روش‌ها: با استفاده از روش‌های مولکولی، تکثیر پیتید نشانه پروترومبین انسانی و الحاق آن به بخش بالغ cDNA فاکتور ۹ انسانی انجام شد. سپس قطعه کایمیریک حاصل در مقایسه با فاکتور ۹ انسانی با پیتید نشانه بومی در رده سلولی HEK293T تحت تنظیم پرموتر سیتوگالوویروس (CMV) در شرایط گذرا به طور عملی آزمایش شد. با استفاده از نرم افزارهای پیشگویی کننده مبتنی بر الگوریتم شبکه‌های عصبی، امتیازی برای جایگاه برش و کارآیی ترشح پیتید نشانه پروترومبین انسانی و بومی فاکتور ۹ ارزیابی شد. میزان فاکتور ۹ بیان شده در محیط کشت سلول‌های نوترکیب با -RT-PCR و الیزا بررسی شد.

نتایج: بررسی‌های رایانه‌ای پیشگویی نمود که پیتید نشانه پروترومبین انسانی در مقایسه با پیتید نشانه بومی فاکتور ۹ کارآمدتر است. این پیشگویی با استفاده از روش‌های RT-PCR و الیزا علیه RNA کایمیری و نیز پروتئین نوترکیب FIX به ترتیب تأیید شد.

نتیجه‌گیری: تحقیق حاضر نشان داد که پیتید نشانه پروترومبین انسانی نسبت به پیتید نشانه بومی پروتئین فاکتور ۹ از کارآیی بالاتری برخوردار است. این موضوع با پیش‌بینی‌های حاصل از برنامه‌های رایانه‌ای مطابقت دارد. نتیجه این جایگزینی می‌تواند در فاز بیان پایدار بررسی شود.

کلیدواژگان: فاکتور ۹ انسانی، پروترومبین، کارآیی ترشح، پیتید نشانه

مجله علوم پزشکی مدرس: آسیب‌شناسی زیستی، دوره ۱۸، شماره ۲، تابستان ۱۳۹۴، صفحات: ۲۷-۳۹

## مقدمه

بیماری هموفیلی یکی از شایع‌ترین بیماری‌های انعقادی کریسمس (Christmas disease) [۱] یک در هر ۲۵۰۰۰-۳۰۰۰۰ زن از زنان است. فراوانی بیماری هموفیلی نوع B [بیماری کریسمس] به این مرض می‌رسد. این بیماری معمولاً در سنین کمتر از ۱۰ سالگی آغاز می‌شود و ممکن است در سنین بزرگی از این بیماری درگیر شود.

## تأثیر پیتید نشانه پروتروموبین انسانی بر کارآیی ترشح فاکتور ۹ انسانی

آب گریز پیتید نشانه و پروپیتید (بری-پرو) هستند. پیتید نشانه‌ها در این میان نقشی کلیدی در هدایت و جایابی پروتئین‌های ترشحی و غشایی ایفا می‌کند [۵]. یکی از راهکارهای جایگزین برای دستیابی به بیان انبوه فاکتور ۹ بهینه‌سازی فرآیند ترشح این پروتئین با انتخاب پیتید نشانه مناسب است. در سلول‌های یوکاریوتی پیتید نشانه پروتئین‌های ترشحی بین ۱۵ تا ۳۰ اسید آمینه طول دارد. اغلب این چنین توالی در انتهای آمینی توالی پیتید بالغ، باعث شناخته شدن آن پروتئین به عنوان یک پروتئین ترشحی می‌شود. اکثر پیتید نشانه‌ها دارای یک ناحیه قطبی بازی (N) در انتهای آمینی، هسته آب گریز (H) و انتهای قطبی (C) در انتهای کربوکسیل هستند [۶]. ناحیه H بیشترین نقش را در انتقال پروتئین به شبکه اندوپلاسمی دارد و افزایش در بار قلیایی ناحیه N و افزایش آب گریزی در ناحیه H می‌تواند ترشح پروتئین را تا ۳/۵ برابر افزایش دهد [۷]. چندین برنامه برای پیشگویی پیتیدهای نشانه به کار گرفته شده است از جمله برنامه‌های PrediSi، PSORT، SignalP، PHYSEAN و SignalP [۸]. داده‌های حاصل از دو برنامه PrediSi و SignalP کیفیت ساختاری و جایگاه برش در پیتید نشانه را پیشگویی می‌کنند [۸]. اگر چه توالی پیتید نشانه در میان پروتئین‌های وابسته به ویتامین K متفاوت است، ولی شباهت قابل توجهی در ناحیه پروپیتید دارند. ناحیه پروپیتید در میان پروتئین‌های وابسته به ویتامین K شدیداً حفاظت شده است و یک جایگاه شناسایی برای اتصال آنزیم گاماکربوکسیلаз برای انجام گاما کربوکسیلاسیون را در این پروتئین‌ها فراهم می‌کند [۹]. پروتروموبین انسانی، گلیکوپروتئینی تک زنجیره‌ای است که در کبد تولید و ذخیره می‌شود و در پلاسمای خون نیز وجود دارد و در حضور ترومبوپلاستین و یون‌های کلسیم طی فرایند انعقاد به ترومبوپلاستین تبدیل می‌شود. تولید این پروتئین نیز نیازمند ویتامین K است. رونوشت پروتروموبین یک پروتئین چند ناحیه‌ای را کد می‌کند [۱۰]. هدف از این بررسی، بهبود بیان و ترشح فاکتور ۹ انسانی در رده سلولی پستانداران با تأکید بر جایگزینی پیتید نشانه

تولد نوزاد مذکور در سطح جهان است [۱]. یکی از چالش‌های عمدۀ در درمان بیماران هموفیلی B نیاز به فاکتور ۹ انعقادی پلاسمایی یا نوترکیب با ڈز بالا است. تهیه فاکتور ۹ از پلاسمای در مقیاس بالا با توجه به میزان انذک آن در خون، هزینه تولید آن را سنگین و خطر سرایت بیماری‌های خونی به دلیل مشکلات موجود در ویروس زدایی از آن را افزایش می‌دهد. بنابراین تولید فاکتور ۹ به روش نوترکیب می‌تواند با توجه به اهمیت و نقش این عامل روش مناسب و ایمن برای حل مشکلات موجود در درمان هموفیلی نوع B باشد [۲]. فاکتور ۹ انعقادی که به عنوان یک پیش‌ساز غیرفعال در جریان خون در حال گردش است، در جریان انعقاد پس از فعل سازی به وسیله فاکتور ۱۱ فعال (XIa) یا فاکتور بافتی ۷ فعال (VIIa) در مرحله میانی مسیر درونی انعقاد خون شرکت می‌کند [۳]. محصول ترجمه آن پروتئین پیش‌ساز فاکتور ۹ با ۴۶۱ اسید آمینه است. با توجه به تغییرات بعد از ترجمه فاکتور ۹، میزان مناسب برای تولید آن با استفاده از فناوری DNA نوترکیب، سلول‌های پستانداران هستند. اما نشان داده شده است که تنها کمتر از ۱۰ درصد از پروتئین‌های وابسته به ویتامین K ترشحی نوترکیب در سامانه پستانداران به طور کامل گاما کربوکسیل و فعال است. از آن جایی که فعالیت زیستی پروتئین فاکتور ۹ به تغییرات صحیح بعد از ترجمه متکی است، بنابراین به کارگیری میزبان مناسب برای این منظور دارای اهمیت است. مراحل پردازش بعد از ترجمه شامل: حذف پری - پرو پیتید، گاما کربوکسیلاسیون ۱۲ گلوتامیک اسید انتهای آمینی، بتا هیدروکسیلاسیون آسپارتیک اسید و گلیکوزیلاسیون است. گاما کربوکسیلاسیون فاکتور ۹ که تأثیر اساسی در عملکرد این پروتئین دارد توسط آنزیم گاما گلوتامیل کربوکسیلاز انجام می‌شود که یک پروتئین داخل غشایی با حداقل ۵ ناحیه است و منطقه انتهای کربوکسیل آن در فضای شبکه اندوپلاسمی قرار می‌گیرد [۴]. بررسی محصول ترجمه پروتئین‌های وابسته به ویتامین K نشان می‌دهد که همگی مانند فاکتور ۹ ابتدا به عنوان مولکول‌های پیش‌ساز تولید می‌شوند و شامل هر دو توالی

Mapper (<http://www.malundberg.gu.se/cutter2>) و Restriction Mapper (<http://www.restrictionmapper.org>) استفاده شد.

### طراحی و ساخت پلاسمیدهای نوترکیب

باکتری اشتریشیا کلی (*Escherichia coli*) (Strategene) آمریکا) به عنوان میزبان در مراحل همسانه‌سازی و برای تکثیر pCDNA3 DNA پلاسمیدی استفاده شد. از پلاسمید Fermentas (آمریکا) به منظور بیان موقعیت در میزبان‌های پستانداران استفاده شد. آغازگرهای طراحی شده برای انجام این پژوهش که ترادف آن‌ها در جدول ۱ ارایه شده توسط شرکت تکاپوزیست (ایران) ساخته شد. جفت آغازگرهای hFIX-XhoI و hFIX-KpnI به صورت اختصاصی برای تکثیر cDNA فاکتور ۹ انسانی طراحی و ساخته شدند که به ترتیب پس از تکثیر منجر به ایجاد جایگاه‌های برشی KpnI و hFIX در ابتدا و انتهای cDNA می‌شدند. آغازگر XhoI و hFIX-XhoI شامل توالی کوزاک (Kozak sequence) KpnI همچنین آغازگرهای Hprot-KpnI و Hprot-XhoI به صورت اختصاصی باعث تکثیر cDNA ژن پروتومیین انسانی شده و به ترتیب در انتهای خود دارای جایگاه‌های برش برای آنزیم‌های KpnI و XhoI هستند.

بومی فاکتور ۹ با پیتید نشانه پروتومیین انسانی است.

### مواد و روش‌ها

#### نرم افزارها و روش‌های نرم افزاری

از بانک اطلاعاتی NCBI و EBI برای دستیابی به توالی‌های نوکلئوتیدی و پروتئینی ژن‌های فاکتور ۹ انعقادی (NC\_000011.10) و پروتومیین انسانی (NC\_000023.11) استفاده شد. برای پیش‌بینی برش و ارزش پیتید نشانه‌های مختلف همراه با فاکتور ۹ از برنامه آنلاین SignalP [۱۱] و PrediSi [۱۲] ([www.cbs.dtu.dk/services/SignalP/](http://www.cbs.dtu.dk/services/SignalP/)) استفاده شد. برای رسم نمودار آب‌گریزی پیتیدهای نشانه از الگوریتم Eisenberg [۱۳] استفاده شد. برای مطالعه فایل‌های کروماتوگرام حاصل از Blast.cgi / Blast Chromas 2.01 (<http://blast.ncbi.nlm.nih.gov>) BLAST (<http://www.softpedia.com/get/Science-CAD/Chromas>) استفاده شد. برای طراحی آغازگرها از نرم‌افزار -Lite.shtml (<http://www.generunner.net>) Gene Runner 3.4. (<http://www.idtdna.com/analyizer/>) Oligo Analyzer 3.1 (applications/oligoanalyzer/) و برای بررسی نقشه هضم Webcutter2 آنلاین آنلاین توالی‌ها از برنامه آنلاین

جدول ۱ توالی و کاربرد آغازگرها و اندازه محصول تکثیری آن‌ها

طول قطعه (جفت باز)	کاربرد آغازگر	توالی آغازگرها	نام آغازگرها
۱۴۱۰	تکثیر فاکتور ۹ دارای توالی کوزاک انسانی	۳' ۵' GGGGTAC/C GCCACC ATGCAGCGCGT GAAC F : ۳' CCGC/TCGAGATCCATCTTCATTAAGTGAGC ۵' R :	hFIX-KpnI// hFIX-XhoI
۱۴۱۰	تکثیر فاکتور ۹ دارای توالی پرو پروتومیین انسانی	F : ۵' GGGGTACGCCACCAT GGCGCACGT CCGAG ۳' ۳' CCGC/TCGAGATCCATCTTCATTAAGTGAGC R : ۵'	Hprot-KpnI // hFIX-XhoI
۱۱۷	تکثیر ناحیه‌ای از ژن فاکتور ۹ انسانی	CGGGT GAGCTT AGAACGTT TGTG ۳' F : ۵' ۳' R : ۵' GGT GGT TT GCT CCT GT ACT GA	hF9-RTR1//hF9-RTF1
۱۱۳	تکثیر ناحیه‌ای از ژن GAPDH	F : ۵'AAGGTGAAGGTGGAGTCAAC ۳' R : ۵'GGGTCATTGATGGACAATA ۳'	Hu-gapdhF/Hu-gapdHR

## تأثیر پیتید نشانه پروترومبین انسانی بر کارآیی ترشح فاکتور ۹ انسانی

میکرولیتر از X-TREME GENE9 (Roche آلمان) به DNA رقیق شده اضافه شد و چندین مرتبه پیپتاز شد. سپس بهمنظور تشکیل مخلوط ترانسفکشن نمونه ها به مدت ۳۰ دقیقه در دمای اتاق (۱۵-۲۵ درجه سانتی گراد) قرار داده شد و پس از آن، مخلوط حاصل به صورت قطره قطره اضافه شد و پلیت ها به آرامی تکان داده شد. بعد از ۴ ساعت از زمان ترانسفکشن بدون تعویض محیط، مقدار ۵ میکرو گرم/ میلی لیتر ویتامین k به همراه ۵۰۰ میکرولیتر FBS به هر چاهک اضافه شد. پلیت های حاوی سلول ها تحت شرایط طبیعی رشد قرار گرفت.

## بررسی بیان گذرا در سلول های HEK293T

برای بررسی بیان گذرا، دو ترانسفکشن جداگانه برای هر دو سازه انجام شد. ۴ ساعت بعد از ترانسفکشن محیط سلول ها با ۲ میلی لیتر محیط جدید دارای ویتامین k، تعویض شد. سپس در فاصله های زمانی ۴۸، ۷۲ و ۴ ساعت بعد از ترانسفکشن مایع رویی جمع آوری، سلول ها نیز شمارش و از آن لیز سلولی تهیه شد.

## استخراج RNA

تام از سلول های ترانسفکت شده با سازه های RNA نوترکیب با استفاده از کیازول (Qiagen آلمان) استخراج شد. به صورت خلاصه در این روش، ابتدا به هر فلاسک ۱ میلی لیتر محلول کیازول اضافه شد، سپس ۲۰۰ میکرولیتر کلروفرم اضافه و پس از تکان های شدید به مدت ۵ دقیقه در دمای ۴ درجه سانتی گراد انکوبه شد. مخلوط حاصل به مدت ۱۵ دقیقه با دور ۱۰۰۰g سانتریفیوژ شد. لایه رویی تشکیل شده شامل RNA به ویال جدید متقل و نصف حجم کیازول، ایزوپروپانول به آن اضافه شد. پس از تکان های شدید ۱۵ دقیقه روی یخ قرار گرفت و به مدت ۱۵ دقیقه با دور ۱۰۰۰g سانتریفیوژ شد. رسوب حاصل، دو بار با ۱ میلی لیتر اتانول ۷۰ درصد شستشو داده شد تا نمک های اضافی حذف شود و رسوب در معرض هوا خشک شود. به رسوب خشک

## کشت سلول

از سلول های HEK293T (کلیه جنینی) برای کشت در مرحله سلولی استفاده شد. تهیه و کشت دودمان های سلولی HEK293T بر طبق شرایط عمومی کشت سلول های یوکاریوتی انجام پذیرفت. محیط کشت سلول های مورد استفاده در این پژوهش Dulbecco's Modified Eagle (DMEM) Gibco .BRL Life Technology (Medium -Hams-F12 Fetal Bovine Serum: (آلمان) با ۱۰ درصد سرم جنین گاوی (Invitrogen) و ۱ درصد پنی سیلین / استرپتومایسین (آمریکا) تکمیل شد و سلول ها در دمای ۳۷ درجه سانتی گراد و ۵ درصد CO<sub>2</sub> کشت داده شدند.

## DNA ورزی

پس از ساخت سازه های نوترکیب با روش های مولکولی همسانه سازی، تعیین توالی سازه های مولکولی بیان کننده فاکتور ۹ مبتنی بر pcDNA3 یکی مجهز به توالی پیتید نشانه پروترومبین انسانی که به cDNA فاکتور انسانی ۹ الحاق شده بود و دیگری پلاسمید مجهز به توالی های بومی فاکتور ۹، برای تأیید درستی cDNA بر اساس روش سنگر (Sanger) یا (di-deoxy) به صورت خودکار با استفاده از آغازگرهای اختصاصی (جدول ۱) و با Automated sequencer AB1 373A استفاده از دستگاه MWG آلمان انجام شد.

## X-TREME GENE ۹ با استفاده از

یک روز قبل از انجام واکنش ترانسفکشن (Transfection) سلول های HEK293T (Transfection) سلول ها با تراکم ۲۵۰۰۰ سلول به ازای هر چاهک از ظروف کشت ۶ خانه ای در محیط کشت حاوی سرم و آنتی بیوتیک شناور شدند. سپس ۲ میلی لیتر از سلول ها به هر چاهک متقل شد و تحت شرایط طبیعی رشد انکوبه شدند. قبل از ترانسفکشن ۲ میکرو گرم DNA در ۱۰۰ میکرولیتر محیط کشت بدون سرم و آنتی بیوتیک حل شد و سپس ۶

## اندازه‌گیری آنتی‌ژنیستی فاکتور ۹ انسانی بیان شده با روش الایزا (ELISA)

آنتی‌ژنیستی فاکتور ۹ نوترکیب انسانی بیان شده در محیط کشت سلول‌های ترانسفکت شده با روش ساندرویچ الایزا روی میکروپلیت‌هایی که با آنتی‌بادی‌های پلی کلونال ضد فاکتور ۹ پوشش داده شده بود (کیت Diagnostica Stago، فرانسه) انجام گرفت. فاکتور ۹ متصل شده به اولین آنتی‌بادی با استفاده از آنتی‌بادی ثانویه پلی کلونال خرگوشی ضد فاکتور ۹ که با پراکسیداز نشاندار شده بود و به شخص آنتی‌ژنی دیگری از فاکتور ۹ متصل می‌شود آشکار شد. آشکارسازی ترکیب آنتی‌ژن-آنتی‌بادی بر اساس فعالیت ترا متیل بنزیدین (TMB) آنزیم پراکسیداز بر سوبسترا انجام شد. بعد از این‌که واکنش‌ها با اضافه کردن سولفوریک اسید متوقف شد رنگ به دست آمده در طول موج ۴۵۰ نانومتر اندازه‌گیری شد.

**اندازه‌گیری فاکتور ۹ انباسته شده درون سلول**  
به‌منظور به‌دست آوردن مقدار پروتئین باقی مانده در سلول، سلول‌ها در ۲۰۰ میکرولیتر بافر لیز کننده سرد (تریتون x-100 ۵/۵ درصد، کلرید پتاسیم ۱۰۰ میلی‌مولار، کلرید منزیم ۲ میلی‌مولار و pH: ۷/۵ M-MuLV (Fermentas Roche، آمریکا) مخلوط شدند، سپس به‌مدت ۲۰ دقیقه روی یخ قرار گرفتند و در نهایت لیز سلولی به‌دست آمده به‌مدت ۱۰ دقیقه سانتریفیوژ (۱۲۰۰۰g، ۴ درجه سانتی‌گراد) شد. فاکتور ۹ موجود در محلول رویی (مایع رویی) با روش الایزا اندازه‌گیری شد.

## نتایج

در این تحقیق پس از بررسی‌های رایانه‌ای، عملکرد دو پیتید نشانه بومی فاکتور ۹ و پروترومبین انسانی در ترشح فاکتور ۹ در رده سلولی HEK293T در شرایط بیان گذرا مقایسه شد.

شده ۳۰ میکrolیتر آب عاری از نوکلئاز اضافه شد. کیفیت RNA تام با استفاده از الکتروفورز روی ژل آکارز ۱ درصد و مشاهده باندهای ۱۸S و ۲۸S مربوط به RNA ریزوژومی بررسی شد. تعیین کمیت RNA استخراج شده با استفاده از میزان جذب آن در طول موج ۲۶۰ نانومتر توسط اسپکتروسکوپی و با استفاده از دستگاه NanoDrop (مدل ۲۰۰۰ شرکت Thermo، آمریکا) انجام پذیرفت و نمونه‌ها در برودت ۷۰- درجه سانتی‌گراد نگهداری شد.

## واکنش رونوشتبرداری معکوس و واکنش زنجیره‌ای پلیمراز

به‌منظور حذف هرگونه آلودگی احتمالی با DNA میزان ۱ میکروگرم از RNA استخراج شده با ۰/۱ میکrolیتر از آنزیم DNase I (Roche، آمریکا) در حجم نهایی ۱۰ میکrolیتر مجاور شد و به‌مدت ۳۰ دقیقه در دمای ۳۷ درجه سانتی‌گراد EDTA (Ethylenediaminetetraacetic acid) ۵۰ میلی‌مولار و انکویاسیون در دمای ۶۵ درجه سانتی‌گراد به‌مدت ۱۰ دقیقه با آنزیم I DNase غیرفعال شد. cDNA توسط آنزیم رونوشتبردار معکوس M-MuLV (Fermentas، آمریکا) با استفاده از RNA تیمار شده با DNAase عاری از RNAase به عنوان الگو و آغازگرهای هگزامرهای تصادفی طبق روش استاندارد مربوط به استفاده از کیت ساخت cDNA Roche (آمریکا) در دو مرحله متواال ساخته شد. سپس قطعات تولید شده به عنوان الگو برای واکنش PCR استفاده شد. در این پژوهش از آغازگرهای اختصاصی RTF، RTR به‌منظور تکثیر اختصاصی ناجه‌ای از ژن فاکتور ۹ انسانی و آغازگرهای اختصاصی Hu-gapdhR و Hu-gapdhF به عنوان کنترل داخلی برای تکثیر بخشی از توالی رمز کننده ژن گلیسرآلدئید-۳-فسفات دهیدروژناز انسان (Glyceraldehyde-3-phosphate dehydrogenase) به عنوان کنترل داخلی استفاده شد (جدول ۱).

## تأثیر پیتید نشانه پروتروموبین انسانی بر کارآیی ترشح فاکتور ۹ انسانی

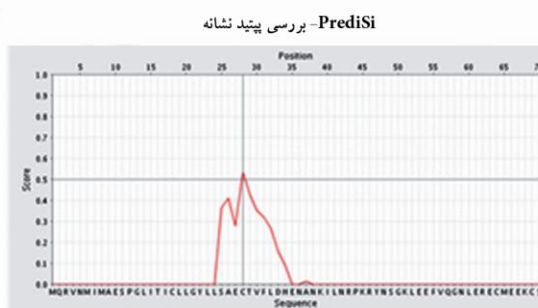
PrediSi بین ۰ و ۱ است. امتیاز بزرگتر از ۰/۵ به این مفهوم است که توالی مورد بررسی به احتمال خیلی زیاد شامل یک پیتید نشانه است [۱۲]. در برنامه SignalP مهم‌ترین امتیاز میانگینی از امتیاز تک تک آمینواسیدهای موجود در توالی پیتید نشانه است که تعیین کننده ترشحی و غیر ترشحی بودن پروتئین است و با S-mean نشان داده می‌شود. امتیاز بالاتر از ۰/۵ پروتئین ترشحی و کمتر از آن غیر ترشحی محاسبه می‌شود [۱۱]. نتایج حاصل از پیش‌بینی پردازش پیتید نشانه با استفاده از برنامه PrediSi برای توالی پیتید نشانه بومی فاکتور ۹ (شکل ۱ الف) و توالی پیتید نشانه پروتروموبین انسانی (شکل ۱ ب) نشان داده شده است. نتایج حاصل از بررسی با برنامه SignalP نیز در (شکل ۲ الف) و (شکل ۲ ب) به ترتیب برای پیتید نشانه بومی فاکتور ۹ انسانی و پروتروموبین انسانی نشان داده شده است. نتایج بررسی با هر دو برنامه، مشخص کرد که پیتید نشانه پروتروموبین انسانی نسبت به پیتید نشانه فاکتور ۹ از امتیاز بالاتری برخوردار است.

## بررسی‌های رایانه‌ای

### نتایج به دست آمده از بررسی پیتیدهای نشانه با نرم‌افزار SignalP و PrediSi

از آنجایی که ساختار عمومی توالی‌های پیتید نشانه و عملکرد دستگاه ترشحی به خوبی حفاظت شده هستند، امکان استفاده از پیتید نشانه‌های غیر خودی (هترولوج) برای افزایش کارآیی ترشح وجود دارد. در این رابطه، عملکرد ترشحی پیتید نشانه پروتروموبین انسانی در کنار فاکتور ۹ انسانی آزمایش و بررسی شد. برای تکثیر قطعات رمز کننده توالی پیتید نشانه احتمالی، ۷۰ آمینواسید انتهای آمینی رمز شده توسط رونوشت‌های مختلف ژن‌های مورد نظر توسط دو برنامه آنلاین پیش‌بینی کننده پیتید نشانه PrediSi و SignalP ارزیابی شد. پارامترهای خروجی در این دو برنامه عبارتند از تخمین کلی حضور یا عدم حضور پیتید نشانه در توالی آمینواسید مورد بررسی، امتیازدهی برای پیتید نشانه و جایگاه برش تعیین شده برای سیگنال پیتیداز و ارزش پیتید نشانه. امتیاز داده شده در

الف



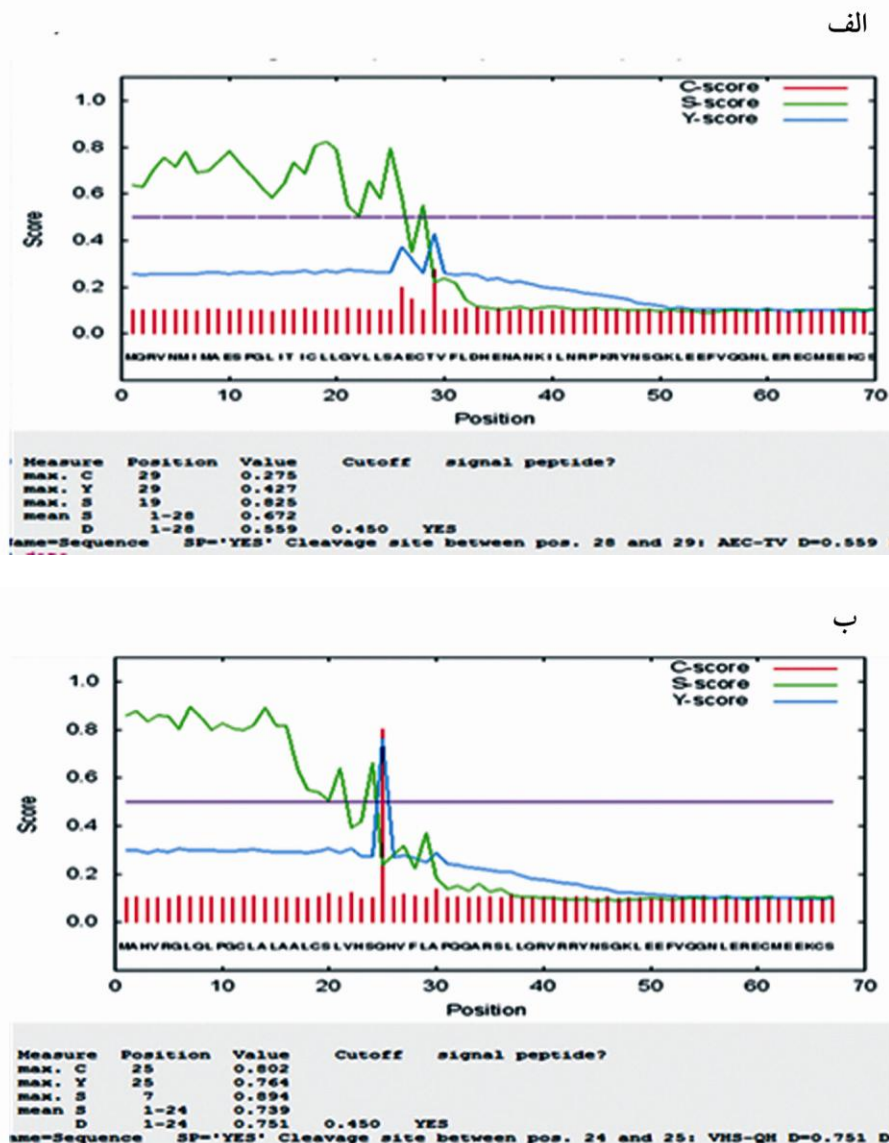
ماتریکس	پوکاریوت
کوتاه سازی	۷۰ اسید آمینه
جایگاه برش	۲۸
نمره	۰/۵۳۲۴
وضعیت پیش‌بینی	پیش‌بینی شده برای ترشح

ب



پوکاریوت	ماتریکس
۷۰ اسید آمینه	کوتاه سازی
۲۴	جایگاه برش
۰/۷۰۳۳	نمره
پیش‌بینی شده برای ترشح	وضعیت پیش‌بینی

شکل ۱ بررسی توالی پیتید نشانه با برنامه آنلاین PrediSi (الف) پیتید نشانه بومی فاکتور ۹ (نمره: ۷۰)، (ب) پیتید نشانه پروتروموبین انسانی به همراه فاکتور ۹ (نمره: ۰/۷۰۳۳)



شکل ۲ بررسی توالی پپتید نشانه با برنامه آنلاین SignalP (الف) پپتید نشانه بومی فاکتور ۹ (s-mean: ۰/۶۷۲)، (ب) توالی پپتید نشانه بومی فاکتور ۹ (s-mean: ۰/۷۳۹) به همراه فاکتور ۹

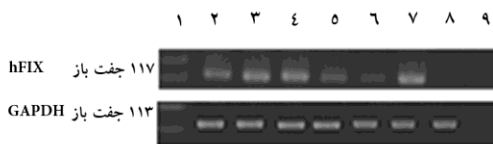
آب‌گریزی پپتیدهای نشانه و مقایسه آنها، دقت طراحی را بالا می‌برد و در تفسیر نتایج قابل استفاده خواهد بود. با مقایسه نتایج مربوط به میزان آب‌گریزی آمینواسیدهای دو پپتید نشانه یاد شده، می‌توان نتیجه گرفت که میزان آب‌گریزی پپتید نشانه پروترومبین انسانی نسبت به پپتید نشانه بومی فاکتور ۹ بالاتر بوده است. ناحیه آب‌گریز پپتید نشانه بومی فاکتور ۹ شامل

### بررسی آب‌گریزی پپتیدهای نشانه با استفاده از سیستم امتیاردهی Eisenberg و برنامه TopPred

ناحیه آب‌گریز نقش تعیین کننده در کارآئی پپتیدهای نشانه و انتقال پروتئین به سمت مسیر ترشحی دارد [۱۴]. برای طراحی و یافتن یک پپتید نشانه مناسب، بررسی میزان

## تأثیر پیتید نشانه پروتروموبین انسانی بر کارآیی ترشح فاکتور ۹ انسانی

شده حاصل از نمونه‌های ترانسفکت شده، متج به تولید قطعه مورد انتظار به طول ۱۱۷ جفت باز با استفاده از آغازگرهای اختصاصی RTR و RTF در واکنش PCR شد. از سلول‌هایی که ترانسفکت نشده بودند، به عنوان کنترل منفی استفاده شد (شکل ۴). همچنین به منظور اطمینان از عدم آسودگی RNA به RNA از DNA ساخته شده به عنوان الگوی PCR به عنوان کنترل منفی استفاده شد.

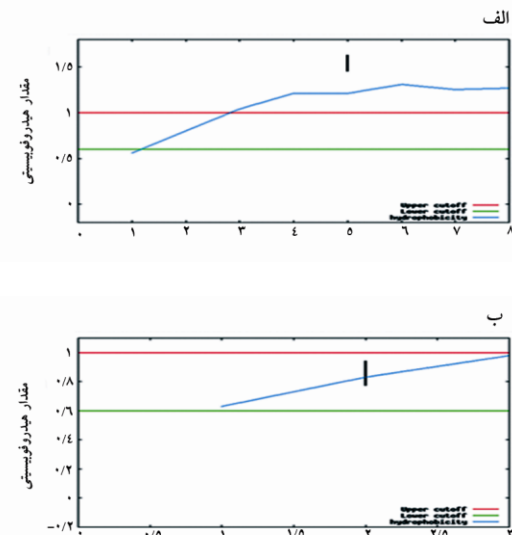


شکل ۴ الگوی الکتروفورزی محصولات RT-PCR؛ (ردیف بالا) آغازگرهای اختصاصی فاکتور ۹ و (ردیف پایین) GAPDH به عنوان کنترل داخلی، ستون ۱) نشانگر ۱۰۰ جفت باز DNA، ستون ۲-۴) سازه مجهز به توالی پیتید نشانه پروتروموبین انسانی ۲۴ و ۴۸ و ۷۲ ساعت پس از ترانسفکشن، ستون ۵-۷) سازه مجهز به توالی پیتید نشانه بومی فاکتور ۹، ستون ۸) سلول‌های لیز شده و ترانسفکت نشده، ستون ۹) کنترل منفی

## ارزیابی کارآیی ترشح

کارآیی ترشح یک پروتئین به نسبت بخش ترشح شده (پروتئین موجود در محیط کشت) و مقدار کلی بیان شده آن (محیط کشت و لیز سلولی) پروتئین تعريف می‌شود [۱۵]. براساس این تعريف، مقدار پروتئین فاکتور ۹ موجود در محیط کشت با روش الیزا اندازه‌گیری شد. ارزیابی کارآیی ترشح در سه روز متوالی بعد از ترانسفکشن نشان داد که سازه مجهز به پیتید نشانه پروتروموبین انسانی حداقل میزان ترشح را در ۷۲ ساعت پس از ترانسفکشن داشت. این بدان معناست که فاکتور ۹ به دام افتاده در داخل سلول در طول دوره کشت سلولی آزاد می‌شود. در حالی که افزایش زمان تأثیری در میزان ترشح فاکتور ۹ در سازه مجهز به پیتید نشانه بومی فاکتور ۹ نداشته است. نتایج ارایه شده حاصل از سه بار تکرار آزمایش و میانگینی از نتایج به دست آمده است (شکل ۵).

آمینواسیدهای لوسین و ایزولوسین با میزان آب‌گریزی بالا و چند آمینواسید با میزان آب‌گریزی پایین و ۳ آمینواسید آب‌دوست است. این در حالی است که ناحیه آب‌گریز پیتید نشانه پروتروموبین انسانی شامل آمینواسیدهای لوسین، آلانین و والین با میزان آب‌گریزی بالا و ۲ آمینواسید آب‌دوست است. بررسی آب‌گریزی دو نوع پیتید نشانه بومی فاکتور ۹ (شکل ۳ الف) و پیتید نشانه پروتروموبین انسانی (شکل ۳ ب) با استفاده از سیستم امتیازدهی Eisenberg و برنامه TopPred نشان داده شده است. نتایج حاصل از هر دو برنامه میزان کلی آب‌گریزی (Total Hydrophobicity) بالاتری را برای توالي پیتید نشانه پروتروموبین انسانی در مقایسه با توالي پیتید نشانه بومی فاکتور ۹ نشان داد.

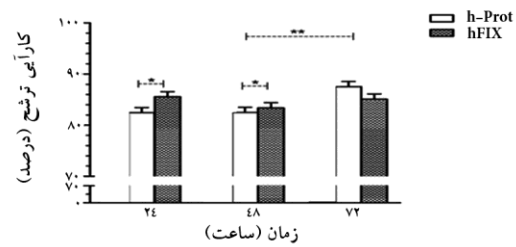


شکل ۳ بررسی میزان آب‌گریزی پیتیدهای نشانه با استفاده از سیستم امتیازدهی Eisenberg و برنامه آنلاین TopPred؛ (الف) نمودار آب‌گریزی آمینواسیدهای موجود در توالي پیتید نشانه بومی فاکتور ۹، (ب) نمودار آب‌گریزی آمینواسیدهای موجود در توالي پیتید نشانه پروتروموبین انسانی

## تأیید بیان فاکتور ۹ در مرحله نسخه‌برداری

بررسی کیفی بیان در سطح رونویسی با انجام فرآیند RT-PCR مقدور است. آزمایش RT-PCR روی سلول‌های لیز

پروتومیین انسانی جایگرین پیتید نشانه بومی فاکتور ۹ شد و اثر آن بر ترشح فاکتور ۹ انسانی در رده سلولی HEK293T بررسی شد. پیشتر در مطالعاتی که توسط سام (Sam) و همکاران انجام گرفت نشان داده شد زمانی که از پیتید نشانه بومی فاکتور ۹ استفاده می‌شود، بخش زیادی از فاکتور ۹ بیان شده درون سلول‌های نوترکیب انباسته می‌شود [۱۶]. بنابراین دستیابی به پروتئینی با ترشح کارآمد در میزان پستانداران دغدغه اصلی محققان بوده است و انتخاب پیتید نشانه مناسب ممکن است مفید باشد [۱۷]. در میان پارامترهایی که در ترشح یک پروتئین دخیل هستند، پیتید نشانه نقش کلیدی بازی می‌کند و می‌تواند به خوبی در تنظیم بیان ژن تأثیرگذار باشد [۲۰-۱۸]. ارزیابی آب‌گریزی و کارآبی برش پیتیدهای نشانه به کار گرفته شده در این پژوهش، با استفاده از برنامه‌هایی که بر اساس الگوریتم شبکه‌های عصبی پیش‌بینی می‌کنند انجام گرفت و پیش‌بینی شد که پیتید نشانه پروتومیین انسانی کارآبی ترشح بالاتری نسبت به پیتید نشانه بومی فاکتور ۹ دارد. بررسی‌های بیانی در فاز گذرا شواهدی مبنی بر بهبود کارآبی ترشح فاکتور ۹ نشان داد، زمانی که از پیتید نشانه پروتومیین انسانی استفاده شد. بر اساس نتایج حاصل از کلون hProt-hFIX کارآبی ترشح فاکتور ۹ تولید شده پس از ۷۲ ساعت به ۸۹ درصد افزایش یافت و بدین معناست که فاکتور ۹ به دام افتاده در داخل سلول با گذشت زمان کاهش پیدا کرده است و همه فاکتور ۹ تولید شده به بیرون از سلول ترشح می‌شود. این در حالی است که کارآبی ترشح فاکتور ۹ تولید شده توسط پیتید نشانه بومی فاکتور ۹ سه روز پس از ترانسفکشن تقریباً ثابت و حدود ۸۶ درصد بود و نتایج حاصل با نتایج پیش‌بینی شده توسط برنامه‌های رایانه‌ای Predisi و SignalP مطابقت داشت. بررسی‌های رایانه‌ای محققان حاضر نشان داد که میزان آب‌گریزی پیتید نشانه پروتومیین انسانی در مقایسه با پیتید نشانه فاکتور ۹ بیشتر است و با نتایجی که قبل توسط هاتسوزاوا (Hatsuzawa) و همکاران در سال ۱۹۹۷ گزارش شد مطابقت دارد [۲۰]. این گروه نشان دادند که میزان کلی آب‌گریزی در منطقه پیتید نشانه نسبت به طول منطقه



شکل ۵ ارزیابی کارآبی ترشح فاکتور ۹ در سلول‌های HEK293T؛ کارآبی ترشح در سازه مجهز به توالی پیتید نشانه پروتومیین انسانی (h-Prot) و سه روز پس از ترانسفکشن در مقایسه با سازه بومی فاکتور ۹ (hFIX) روند افزایشی معنی داری ( $P<0.05$ ) را نشان می‌دهد.

## بحث

نقص یا کاهش در تولید محصولات ژنی باعث بروز بسیاری از بیماری‌های ژنتیکی می‌شود، بنابراین با تولید محصول پروتئینی این ژن‌ها به عنوان دارو یا با پیش گرفتن راهبرد ژن درمانی می‌توان برای درمان این بیماری‌ها گام برد. موقوفیت در انجام این راهکارهای درمانی، نیازمند به استفاده از سازه‌های ژنتیکی کارآمد و توانمند است که در آن‌ها از عناصر ژنتیکی مناسب بهره گرفته شده باشد. در تولید پروتئین‌های نوترکیب دارویی، برای آسان‌تر شدن مراحل تخلیص، پروتئین‌ها به صورت ترشحی تولید می‌شوند. برای تولید بسیاری از پروتئین‌های نوترکیب دارویی از میزان‌های یوکاریوتی به خصوص سلول‌های پستانداران استفاده می‌شود. استفاده از پیتیدهای نشانه مناسب برای تولید صنعتی پروتئین‌های نوترکیب در حال گسترش است و می‌توان از این راهکار در ژن درمانی نیز بهره برد [۲۱]. برای ژن درمانی بسیاری از بیماری‌ها مانند هموفیلی، نیاز است پروتئین به جریان خون وارد شود و این امر با ترشح پروتئین مورد نظر به خارج از سلول امکان‌پذیر خواهد بود. به عنوان یک راهکار جدید و متفاوت می‌توان از طریق بهینه کردن فرآیند ترشح، کارآبی تولید پروتئین در سامانه‌های نوترکیب و یا در ژن درمانی برای چنین بیماری‌هایی افزایش داد [۲۱]. در این پژوهش با توجه به اهمیت فرآیند ترشح در تولید پروتئین‌های نوترکیب و نیز ژن درمانی، با هدف بهینه سازی ترشح فاکتور ۹، پیتید نشانه پروتئین

## تأثیر پپتید نشانه پروتروموبین انسانی بر کارآیی ترشح فاکتور ۹ انسانی

پپتید نشانه آلبومین، تریپسینوژن (Trypsinogen) و ایترولوکین انسانی به ترتیب ۱۹۰۰، ۴۰ و ۱۷۰ درصد است [۲۲]. به طور کلی نتایج حاصل از پژوهش حاضر نیز نشان می‌دهد پپتید نشانه پروتروموبین انسانی نسبت به پپتید نشانه بومی فاکتور ۹ از کارآیی ترشح بالاتری برخوردار است و با نتایج حاصل از بررسی‌های رایانه‌ای با برنامه‌های SignalP و PrediSi و ارزیابی میزان کلی آب‌گریزی پپتید نشانه با برنامه TopPred که نشان دهنده پتانسیل بیشتر ترشح پروتروموبین انسانی نسبت به فاکتور ۹ است، مطابقت دارد.

## تشکر و قدردانی

مطالعه حاضر بخشی از رساله دکتری ژنتیک مولکولی است. پشتیبانی مالی لازم برای انجام این مطالعه توسط معاونت محترم پژوهشی دانشگاه تربیت مدرس و پژوهشگاه ملی مهندسی ژنتیک و زیست فناوری صورت گرفته است.

آب‌گریز (H-region) برای شناسایی توسط SRP (Recognition Particle) و قرار گرفتن در عرض غشای شبکه آندوپلاسمی مهم‌تر است. برد (Bird) و همکاران در سال ۱۹۹۰ پیشنهاد کردند که میزان آب‌گریزی هر پپتید نشانه به طور مستقیم با کارآیی آن مرتبط است؛ بدین معنی که هر چه میزان آب‌گریزی پپتید نشانه بیشتر باشد کارآیی ترشح آن نیز بیشتر است [۲۱]. Zhang (Zhang) و همکاران در سال ۲۰۰۵ نیز نشان دادند که جایگزینی پپتید نشانه ایترولوکین ۲ با پپتید نشانه‌ای که افزایش در بار قلیایی ناحیه N و افزایش آب‌گریزی در ناحیه H دارد قادر است ترشح پروتئین را تا ۳/۵ برابر افزایش دهد [۷]. در مطالعات مرتبط با پژوهش حاضر، جایگزینی پپتید نشانه گوسیا لوسیفراز (Gaussia princeps luciferase) با پپتیدهای نشانه مختلف گزارش شده است که تأثیر مهمی روی تولید و ترشح پروتئین دارد. نتایج به دست آمده از پروتئین‌های گزارشگر نسبت افزایش قابل توجه در کارآیی ترشح پروتئین‌های گزارشگر نسبت به دیگر پپتیدهای نشانه است؛ به طوری که این افزایش نسبت به

## منابع

- [1] Mannucci PM, Tuddenham EG. The hemophilias--from royal genes to gene therapy. *N Engl J Med* 2001; 344(23): 1773-9.
- [2] Vatandoost J, Zomorodipour A, Sadeghizadeh M, Aliyari R, Bos MH, Ataei F. Expression of biologically active human clotting factor IX in *Drosophila* S2 cells:  $\gamma$ -carboxylation of a human vitamin K-dependent protein by the insect enzyme. *Biotechnol Prog* 2012; 28(1): 45-51.
- [3] Jackson CM, Nemerson Y. Blood coagulation. *Annu Rev Biochem* 1980; 49: 765-811.
- [4] Bandyopadhyay PK. Vitamin K-dependent gamma-glutamylcarboxylation: an ancient posttranslational modification. *Vitam Horm* 2008; 78: 157-84.
- [5] Nielsen H, Engelbrecht J, Brunak S, von Heijne G. Identification of prokaryotic and eukaryotic signal peptides and prediction of their cleavage sites. *Protein Eng* 1997; 10(1): 1-6.
- [6] Martoglio B, Dobberstein B. Signal sequences: more than just greasy peptides. *Trends Cell Biol* 1998; 8(10): 410-5.
- [7] Zhang L, Leng Q, Mixson AJ. Alteration in the IL-2 signal peptide affects secretion of proteins in vitro and in vivo. *J Gene Med* 2005; 7(3): 354-65.
- [8] Menne KM, Hernjakob H, Apweiler R. A comparison of signal sequence prediction

- methods using a test set of signal peptides. *Bioinformatics* 2000; 16(8): 741-2.
- [9] Jorgensen MJ, Cantor AB, Furie BC, Brown CL, Shoemaker CB, Furie B. Recognition site directing vitamin K-dependent gamma-carboxylation resides on the propeptide of factor IX. *Cell* 1987; 48(2): 185-91.
- [10] Bristol JA, Ratcliffe JV, Roth DA, Jacobs MA, Furie BC, Furie B. Biosynthesis of prothrombin: intracellular localization of the vitamin K-dependent carboxylase and the sites of gamma-carboxylation. *Blood* 1996; 88(7): 2585-93.
- [11] Bendtsen JD, Nielsen H, von Heijne G, Brunak S. Improved prediction of signal peptides: SignalP 3.0. *J Mol Biol* 2004; 340(4): 783-95.
- [12] Hiller K, Grote A, Scheer M, Münch R, Jahn D. PrediSi: prediction of signal peptides and their cleavage positions. *Nucleic Acids Res* 2004; 32(Web Server issue): W375-9.
- [13] Eisenberg D, Weiss RM, Terwilliger TC, Wilcox W. Hydrophobic moments and protein structure. *Faraday Symp Chem Soc* 1982; 17: 109-20.
- [14] Zanen G, Houben EN, Meima R, Tjalsma H, Jongbloed JD, Westers H, Oudega B, Luijink J, van Dijken JM, Quax WJ. Signal peptide hydrophobicity is critical for early stages in protein export by *Bacillus subtilis*. *FEBS J* 2005; 272(18): 4617-30.
- [15] Kim YK, Shin HS, Tomiya N, Lee YC, Betenbaugh MJ, Cha HJ. Production and N-glycan analysis of secreted human erythropoietin glycoprotein in stably transfected *Drosophila S2* cells. *Biotechnol Bioeng* 2005; 92(4): 452-61.
- [16] Sam MR, Zomorodipour A, Shokrgozar MA, Ataei F, Haddad-Mashadrizeh A, Amanzadeh A. Enhancement of the human factor IX expression, mediated by an intron derived fragment from the rat aldolase B gene in cultured hepatoma cells. *Biotechnol Lett* 2010; 32(10): 1385-92.
- [17] Soejima Y, Lee JM, Nagata Y, Mon H, Iiyama K, Kitano H, Matsuyama M, Kusakabe T. Comparison of signal peptides for efficient protein secretion in the baculovirus-silkworm system. *Cent Eur J Biol* 2013; 8(1): 1-7.
- [18] Stern B, Olsen LC, Trößle C, Ravneberg H, Pryme IF. Improving mammalian cell factories: The selection of signal peptide has a major impact on recombinant protein synthesis and secretion in mammalian cells. *Trends Cell Mol Biol* 2007; 2: 1-17.
- [19] Serruto D, Galeotti CL. The signal peptide sequence of a lytic transglycosylase of *Neisseria meningitidis* is involved in regulation of gene expression. *Microbiology* 2004; 150(Pt 5): 1427-37.
- [20] Hatsuzawa K, Tagaya M, Mizushima S. The hydrophobic region of signal peptides is a determinant for SRP recognition and protein translocation across the ER membrane. *J Biochem* 1997; 121(2): 270-7.
- [21] Bird P, Gething MJ, Sambrook J. The functional efficiency of a mammalian signal peptide is directly related to its hydrophobicity. *J Biol Chem* 1990; 265(15): 8420-5.
- [22] Knappskog S, Ravneberg H, Gjerdrum C, Trößle C, Stern B, Pryme IF. The level of

تأثیر پپتید نشانه پروترومبین انسانی بر کارآیی ترشح فاکتور ۹ انسانی

synthesis and secretion of *Gaussia princeps* luciferase in transfected CHO cells is heavily

dependent on the choice of signal peptide. J Biotechnol 2007; 128(4): 705-15.